Interazioni Elettrodeboli

prof. Francesco Ragusa Università di Milano

Lezione n. 12

10.11.2025

Teoria di Fermi del decadimento β Cinematica; spazio delle fasi Approssimazione non relativistica Generalizzazione della teoria di Fermi

anno accademico 2025-2026

Lo spazio delle fasi

• Studiamo lo spazio delle fasi per il decadimento eta (decadimento a 3 corpi)

$$d\Phi = \frac{d^{3}\mathbf{k}}{\left(2\pi\right)^{3} 2E_{e}} \frac{d^{3}\mathbf{k}'}{\left(2\pi\right)^{3} 2E_{\nu}} \frac{d^{3}\mathbf{p}}{\left(2\pi\right)^{3} 2E_{p}} \left(2\pi\right)^{4} \delta^{4} \left(P - k - k' - p\right)$$

• La presenza della funzione $\delta^3(0-k-k'-p)$ rende banale l'integrazione sul 3-momento del protone (d^3p)

$$d\Phi = \frac{\left(2\pi\right)^4}{\left(2\pi\right)^9} \frac{d^3\mathbf{k}}{2E_e} \frac{d^3\mathbf{k}'}{2E_p} \frac{1}{2E_p} \delta\left(m_n - E_e - E_\nu - E_p\right) \qquad \qquad E_p = \sqrt{\left|\mathbf{k} + \mathbf{k}'\right|^2 + m_p^2}$$

$$|\mathbf{k}| \equiv k$$

- Da ora in poi è sottointeso che $\mathbf{p} = -(\mathbf{k} + \mathbf{k'})$
- Da questo punto in poi si può sviluppare il calcolo in due modi differenti:
 - Il primo finalizzato allo studio del plot di Dalitz
 - Il secondo finalizzato al calcolo della distribuzione dell'energia dell'elettrone o di correlazioni angolari
- Affrontiamo il primo caso (affronteremo il secondo fra poco)
 - \bullet Sviluppiamo il modulo $|\mathbf{k} + \mathbf{k}'|$ e i differenziali

$$d\Phi = \frac{\left(2\pi\right)^4}{\left(2\pi\right)^9} \frac{\mathbf{k}^2 dk d\Omega_e}{2E_e} \frac{\mathbf{k}'^2 dk' d\Omega_{\nu}}{2E_{\nu}} \frac{1}{2E_p} \delta\left(m_n - E_e - E_{\nu} - \sqrt{\mathbf{k}^2 + \mathbf{k}'^2 + 2kk'\cos\theta_{e\nu} + m_p^2}\right)$$

Lo spazio delle fasi

• Ricordiamo che il decadimento è confinato su un piano

$$d\Phi = \frac{1}{(2\pi)^5} \frac{\mathbf{k}^2 dk d\Omega_e}{2E_e} \frac{\mathbf{k}'^2 dk' d\Omega_{\nu}}{2E_{\nu}} \frac{1}{2E_p} \delta \left(\cdot \right) \qquad \left[|\mathbf{k}| \equiv k \right]$$

• Possiamo scegliere la direzione dell'elettrone come riferimento per gli angoli e integrare su $d\Omega_e \to 4\,\pi$

$$d\Phi = \frac{2}{(2\pi)^4} \frac{\mathbf{k}^2 dk}{2E_e} \frac{\mathbf{k}'^2 dk' d\Omega_{\nu}}{2E_{\nu}} \frac{1}{2E_p} \delta (\cdot)$$

• Inoltre, con la scelta fatta, $d\Omega_{
u}$ = $2\pi d \cos\theta_{e
u}$

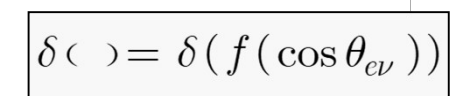
$$d\Phi = \frac{2}{(2\pi)^3} \frac{\mathbf{k}^2 dk}{2E_e} \frac{\mathbf{k}'^2 dk' d\cos\theta_{e\nu}}{2E_{\nu}} \frac{1}{2E_p} \delta (\cdot)$$

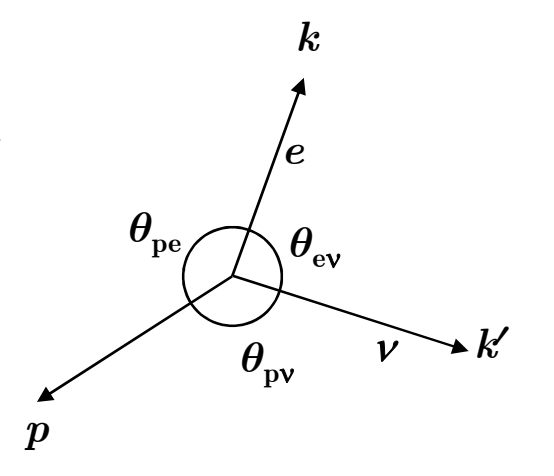
• Infine, dal momento che

$$E^2 = p^2 + m^2 \rightarrow EdE = pdp$$

Otteniamo

$$d\Phi = \frac{2}{(2\pi)^3} \frac{E_e k dE_e}{2E_e} \frac{E_\nu k' dE_\nu d\cos\theta_{\rm e\nu}}{2E_\nu} \frac{1}{2E_p} \delta (\cdot)$$





$$d\Phi = \frac{1}{(2\pi)^3} \frac{1}{4E_p} k dE_e k' dE_{\nu} d\cos\theta_{e\nu} \delta (\cdot)$$

Scegliamo come variabili le due energie E_e e $E_{
u}$

Lo spazio delle fasi

- Integriamo sull'angolo $heta_{
 m e
 u}$
 - $\delta(f(x))$ dove $x = \cos\theta_{ev}$

Integriamo sull'angolo
$$\theta_{\mathrm{e}\nu}$$
• Dobbiamo tenere conto della funzione
$$\delta(f(x)) \ \mathrm{dove} \ x = \cos\theta$$

$$f(x) = m_n - E_e - E_\nu - E_p(x)$$

$$f(x) = m_n - E_e - E_\nu - E_p(x)$$
 $E_p(x) = \sqrt{\mathbf{k}^2 + \mathbf{k}'^2 - 2kk'x + m_p^2}$

- Ricordiamo che ${f p}=-({f k}+{f k'})$. La funzione si annulla per $\cos\theta_{e\nu}=\cos\overline{\theta}_{e\nu}\equiv x_0$
 - $\overline{ heta}_{\scriptscriptstyle on}$ è l'angolo fissato dalla conservazione di energia e quantità di moto
- Ricordando la proprietà della funzione $\delta(x)$

$$\delta(f(x)) = \frac{\delta(x - x_0)}{|f'(x_0)|} \qquad x_0 = \cos \overline{\theta}_{e\nu} \qquad \to \quad E_p = m_n - E_e - E_\nu$$

Otteniamo

$$f'(x) = \frac{-kk'}{\sqrt{k^2 + k'^2 - 2kk'x + m_p^2}}$$
 $f'(x_0) = -\frac{kk'}{E_p}$

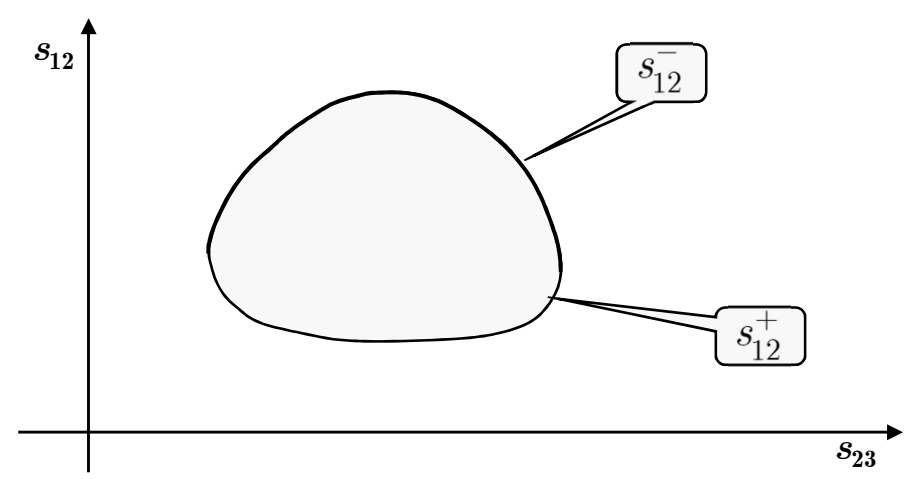
ullet Sostituiamo nella formula per $d\,\Phi$ e integriamo sull'angolo

$$d\Phi = \frac{1}{(2\pi)^3} \frac{1}{4E_p} k dE_e k' dE_\nu d\cos\theta_{e\nu} \frac{\delta\left(\cos\overline{\theta}_{e\nu} - \cos\theta_{e\nu}\right)}{\frac{kk'}{E_p}}$$
$$d\Phi = \frac{1}{(2\pi)^3} \frac{1}{4} dE_e dE_\nu$$

Dalitz Plot

- Il risultato ottenuto è importante per il Dalitz Plot
 - Ricordiamo le relazioni

$$\begin{split} E_1 &= \frac{s + m_1^2 - s_{23}}{2\sqrt{s}} \\ E_2 &= \frac{s + m_2^2 - s_{31}}{2\sqrt{s}} \\ E_3 &= \frac{s + m_3^2 - s_{12}}{2\sqrt{s}} \end{split}$$



- Da esse segue che $dE_1 = -2m_n ds_{23}$
- E le relazioni ottenute da sostituzioni cicliche degli indici
- Le relazioni

$$d\Gamma = \frac{1}{2m_A} |\mathfrak{M}|^2 d\Phi_n$$

$$d\Phi = \frac{1}{(2\pi)^3} \frac{1}{4} dE_e dE_\nu$$

$$d\Gamma = rac{1}{2m_A} |\mathfrak{M}|^2 d\Phi_n$$
 $d\Phi = rac{1}{(2\pi)^3} rac{1}{4} dE_e dE_
u$ $rac{d\Gamma}{dE_e dE_
u} = rac{1}{2m_A} rac{\left|\mathfrak{M}
ight|^2}{4\left(2\pi
ight)^3}$

- Implicano
 - La misura di $d\Gamma/dE_1dE_2$ è una misura di $\mid \mathfrak{M}\mid^2$: se l'elemento di matrice costante, lo spazio nel piano $E_1\!-\!E_2$ (o $s_{12}\!-\!s_{23}$) è popolato uniformemente
 - · Deviazioni dall'uniformità danno indicazioni sulla dipendenza di $|\mathfrak{M}|^2$ dalle variabili $E_1 - E_2$

Esercizi

- In attesa di avere l'elemento di matrice si può impostare il programma per la costruzione di un generatore Montecarlo per il decadimento β :
 - Scrivere un programma per disegnare la regione fisica del decadimento
 - Generare una coppia di numeri casuali $(E_1,\!E_2)$ distribuiti uniformemente nel piano all'interno della regione fisica
 - Utilizzando le formule cinematiche ricavate precedentemente scrivere i tre 4-vettori \mathbf{p}_i del protone, del neutrone, del neutrino
 - Le formule precedenti permettono di scrivere i 3 vettori in un piano.
 - Ruotare con un angolo casuale i 3 vettori su questo piano
 - Generare una direzione casuale nello spazio e ruotare i 3 vettori in modo che giacciano sul piano perpendicolare alla direzione generata

Approssimazione non relativistica

Ricordiamo l'espressione dell'ampiezza invariante

$$\left| \mathfrak{M} = -iG\overline{u}_{p_p} \gamma^{\mu} u_{p_n} \ \overline{u}_{p_c} \gamma_{\mu} v_{p_{\nu}} \right|$$

- Concentriamoci sulla parte relativa ai nucleoni (corrente adronica)

• Nella rappresentazione di Dirac lo spinore
$$u_p = \sqrt{E_p + m_p} \begin{pmatrix} \chi^s \\ \frac{\mathbf{\sigma} \cdot \mathbf{p}}{E_p + m_p} \chi^s \end{pmatrix}$$
 del protone è

- Analogamente per lo spinore del neutrone
- Ricordiamo l'approssimazione non relativistica nella rappresentazione scelta
 - Pertanto

$$E_{f p}\,pprox\,m_p \qquad {{f p}\over m_p}pprox 0 \qquad \qquad u_p\,pprox\,\sqrt{2m_p}igg({\chi^s\over 0}igg)$$

$$\gamma^0 = \begin{pmatrix} I & 0 \\ 0 & -I \end{pmatrix} \quad \mathbf{\gamma} = \begin{pmatrix} 0 & \mathbf{\sigma} \\ -\mathbf{\sigma} & 0 \end{pmatrix}$$

$$\gamma^0 = \begin{pmatrix} I & 0 \\ 0 & -I \end{pmatrix} \quad \mathbf{\gamma} = \begin{pmatrix} 0 & \mathbf{\sigma} \\ -\mathbf{\sigma} & 0 \end{pmatrix} \qquad \qquad \overline{u}_p = \sqrt{2m_p} \begin{pmatrix} \chi^{\dagger s} & 0 \end{pmatrix} \begin{pmatrix} I & 0 \\ 0 & -I \end{pmatrix} = \sqrt{2m_p} \begin{pmatrix} \chi^{\dagger s} & 0 \end{pmatrix}$$

 Per la componente temporale della corrente adronica otteniamo pertanto $(~m_ppprox\,m_npprox\,m_N\,)$

$$\overline{u}_p \gamma^0 u_n = \sqrt{2m_p} \sqrt{2m_n} \left(\chi^{\dagger r} \quad 0 \right) \begin{pmatrix} \chi^s \\ 0 \end{pmatrix} = 2m_N \chi^{\dagger r} \chi^s = 2m_N \delta_{rs}$$

Approssimazione non relativistica

• Per le componenti spaziali della corrente adronica

$$\overline{u}_{p}\boldsymbol{\gamma}u_{n} = \sqrt{2m_{p}}\sqrt{2m_{n}}\begin{pmatrix}\chi^{\dagger r} & 0\end{pmatrix}\begin{pmatrix}0 & \boldsymbol{\sigma}\\ -\boldsymbol{\sigma} & 0\end{pmatrix}\begin{pmatrix}\chi^{r} \\ 0\end{pmatrix} = \sqrt{2m_{p}}\sqrt{2m_{n}}\begin{pmatrix}\chi^{\dagger r} & 0\end{pmatrix}\begin{pmatrix}0 \\ -\boldsymbol{\sigma}\chi^{r}\end{pmatrix} = 0$$

• Vediamo che per $\mu=1,2,3$ le matrici γ^μ mescolano le componenti "large" e "small" degli spinori e pertanto, nell'approssimazione non relativistica danno contributo nullo

$$\overline{u}_p \gamma^{\mu} u_n \approx \begin{cases} 2m_N \chi^{s\dagger} \chi^r = 2m_N \delta_{rs} & \mu = 0\\ 0 & \mu \neq 0 \end{cases}$$

- Il risultato implica che la interazione di Fermi (vettoriale) non prevede che lo spin del nucleone (o del nucleo) possa cambiare
- Nello studio dei decadimenti β furono presto trovati nuclei che decadevano con variazione dello spin nucleare:
 - Ad esempio

$$He^{6}(0^{+}) \to Li^{6}(1^{+}) + e^{-} + \overline{\nu}$$

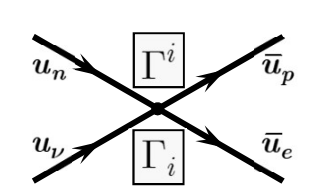
 $B^{12}(1^{+}) \to C^{12}(0^{+}) + e^{-} + \overline{\nu}$

 Divenne pertanto presto chiaro che l'interazione vettoriale doveva essere generalizzata per descrivere anche i decadimenti con variazione dello spin nucleare

- La scelta di interazione fra correnti vettoriali è solo una delle varie possibili
 - La richiesta importante da soddisfare è che l'Hamiltoniana sia uno scalare

$$\mathcal{H}' = G(\overline{\psi}_p \gamma^{\mu} \psi_n)(\overline{\psi}_e \gamma_{\mu} \psi_{\nu}) + h.c.$$

- L'interazione di Fermi è il prodotto scalare di due correnti vettoriali
- Si può generalizzare l'interazione introducendo altre matrici nel vertice di interazione



$$\mathcal{H}' = G \sum_{i=S,V,A,T,P} C_i \left(\, \overline{\psi}_p \Gamma^i \psi_n \,
ight) \! \left(\, \overline{\psi}_e \Gamma_i \psi_
u \,
ight) + \mathit{h.c.}$$

• Le matrici $\Gamma_{\rm i}$ sono le seguenti combinazioni di matrici γ che hanno ben precise proprietà di trasformazione nelle trasformazioni di Lorentz:

•
$$\Gamma_S = 1$$

16 matrici indipendenti

•
$$\Gamma_V = \gamma^\mu$$

$$ullet$$
 $\Gamma_A = \gamma^5 \gamma^\mu$

$$ullet$$
 $\Gamma_T = \sigma^{\mu
u} = i/2 \, \left[\gamma^\mu, \gamma^
u
ight]$

•
$$\Gamma_P = \gamma^5$$

Studieremo in seguito il perché di queste denominazioni

- Verifichiamo che questa generalizzazione permette anche le variazioni dello spin nucleare
- Come nel caso vettoriale utilizziamo la rappresentazione di Dirac

• Ricordiamo anche la matrice
$$\gamma^5$$
 $\gamma^5=i\gamma^0\gamma^1\gamma^2\gamma^3=egin{pmatrix}0&I\\I&0\end{pmatrix}$

• Interazione scalare $\Gamma_S = I$

$$\Gamma_S = I$$

$$\overline{u}_p \Gamma_S u_n = \overline{u}_p I u_n \approx \sqrt{4m_p m_n} \left(\chi^{\dagger s}, 0 \right) \gamma^0 I \begin{pmatrix} \chi^r \\ 0 \end{pmatrix} = \sqrt{4m_p m_n} \chi^{\dagger s} \chi^r$$

- Gli spinori χ_r e χ_s rappresentano gli stati di spin del nucleone prima e dopo il decadimento
 - Otteniamo pertanto ($m_ppprox m_npprox m_N$)

$$\boxed{\overline{u}_p u_n \, \approx \, 2 m_N \chi^{\dagger \, s} \chi^r \, = \, 2 m_N \delta_{sr}}$$

Come nel caso vettoriale l'interazione scalare non permette variazioni di spin

Interazione Vettoriale Assiale

$$\Gamma_A = \gamma^5 \gamma^\mu$$

• Scriviamo esplicitamente le 4 matrici Γ_A

$$\gamma^5 \gamma^0 = \begin{pmatrix} 0 & I \\ I & 0 \end{pmatrix} \begin{pmatrix} I & 0 \\ 0 & -I \end{pmatrix} = \begin{pmatrix} 0 & -I \\ I & 0 \end{pmatrix}$$

$$\gamma^5 \gamma^i = \begin{pmatrix} 0 & I \\ I & 0 \end{pmatrix} \begin{pmatrix} 0 & \sigma^i \\ -\sigma^i & 0 \end{pmatrix} = \begin{pmatrix} -\sigma^i & 0 \\ 0 & \sigma^i \end{pmatrix}$$

- Possiamo subito notare che adesso la matrice $\gamma^5\gamma^0$ mescola componenti large e small al contrario delle matrici $\gamma^5\gamma^i$
 - Calcoliamo innanzitutto la componente temporale corrente adronica

$$\begin{split} \overline{u}_p \gamma^5 \gamma^0 u_n &\approx 2 m_N \left(\chi^{\dagger s}, 0 \right) \gamma^0 \gamma^5 \gamma^0 \begin{pmatrix} \chi^r \\ 0 \end{pmatrix} \\ &= 2 m_N \left(\chi^{\dagger s}, 0 \right) \begin{pmatrix} 0 & -I \\ I & 0 \end{pmatrix} \begin{pmatrix} \chi^r \\ 0 \end{pmatrix} = 2 m_N \left(\chi^{\dagger s}, 0 \right) \begin{pmatrix} 0 \\ \chi^r \end{pmatrix} = 0 \end{split}$$

$$\gamma^5 \gamma^0 = \begin{pmatrix} 0 & I \\ I & 0 \end{pmatrix} \begin{pmatrix} I & 0 \\ 0 & -I \end{pmatrix} = \begin{pmatrix} 0 & -I \\ I & 0 \end{pmatrix} \qquad \qquad \gamma^5 \gamma^i = \begin{pmatrix} 0 & I \\ I & 0 \end{pmatrix} \begin{pmatrix} 0 & \sigma^i \\ -\sigma^i & 0 \end{pmatrix} = \begin{pmatrix} -\sigma^i & 0 \\ 0 & \sigma^i \end{pmatrix}$$

Calcoliamo adesso le componenti spaziali della corrente adronica

$$egin{aligned} \overline{u}_p \gamma^5 \gamma^i u_n &pprox 2m_N \left(\chi^{\dagger s}, 0
ight) \gamma^0 \gamma^5 \gamma^i inom{\chi^r}{0} = 2m_N \left(\chi^{\dagger s}, 0
ight) inom{-\sigma^i & 0}{0 & \sigma^i} inom{\chi^r}{0} \end{aligned}$$
 $= 2m_N \left(\chi^{\dagger s}, 0
ight) inom{-\sigma^i \chi^r}{0} = -2m_N \chi^{\dagger s} \sigma^i \chi^r$

In conclusione

$$\overline{u_p \gamma^5 \gamma^\mu u_n} \approx \begin{cases} 0 & \mu = 0 \\ -2m_N \chi^{\dagger s} \sigma^\mu \chi^r & \mu \neq 0 \end{cases}$$

Interazione Assiale

 Vediamo pertanto che l'Interazione Assiale permette transizioni nucleari con variazione dello spin

• Interazione Tensoriale

$$\Gamma_T = \begin{cases} 0 & \mu = \nu \\ i\gamma^\mu \gamma^\nu & \mu \neq \nu \end{cases}$$

• Iniziamo con le 3 matrici σ^{0k} (k=1,3)

$$\sigma^{0k} = i\gamma^0 \gamma^k = i \begin{pmatrix} I & 0 \\ 0 & -I \end{pmatrix} \begin{pmatrix} 0 & \sigma^i \\ -\sigma^i & 0 \end{pmatrix} = i \begin{pmatrix} 0 & \sigma^k \\ \sigma^k & 0 \end{pmatrix}$$

- Queste matrici mescolano componenti large e small e pertanto $\;\overline{u}_p\sigma^{0k}u_npprox 0\;$
- Consideriamo adesso le restanti 3 matrici σ^{kl} (k,l=1,3 $k \neq l$)
 - Abbiamo già visto che (con k,l,m ciclici e k,l,m=1,3)

$$\sigma^{k,l} = \Sigma^m \qquad \Sigma^m = egin{pmatrix} \sigma^m & 0 \ 0 & \sigma^m \end{pmatrix}$$

Otteniamo pertanto un risultato analogo a quello dell'interazione assiale

$$\overline{u_p}\sigma^{\mu
u}u_n pprox egin{bmatrix} 0 & \mu \circ
u = 0 \ 2m_N \chi^{\dagger s}\sigma^m \chi^r & \mu,
u = 1, 3 \end{bmatrix}$$
 Interazione Tensoriale

L'Interazione Tensoriale permette transizioni nucleari con variazione dello spin

• Per finire calcoliamo l'elemento di matrice della corrente adronica per l'Interazione Pseudoscalare

$$\Gamma_P = \gamma^5$$

• Ricordiamo la forma della matrice γ^5 nella rappresentazione di Pauli-Dirac

$$\gamma^5 = i\gamma^0\gamma^1\gamma^2\gamma^3 = \begin{pmatrix} 0 & I \\ I & 0 \end{pmatrix}$$

- ullet La matrice γ^5 chiaramente mescola le componenti large e small
- Pertanto, nell'approssimazione non relativistica

$$\overline{u}_p \gamma^5 u_n \, pprox \, 0$$

Interazione Pseudoscalare

• Pertanto l'Interazione Pseudoscalare, nell'approssimazione non relativistica, non può contribuire al decadimento β

• Riassumendo, la parte relativa ai nucleoni dell'elemento di matrice nella approssimazione non relativistica o "statica" si può approssimare così

Accoppiamento	Elemento di Matrice Nucleare		
	Forma covariante	Approssimazione Statica	
S	$\overline{u}_p u_n$	$2m_N \chi^{\dagger s} \chi^r$	
$oldsymbol{V}$	$\overline{u}_p \gamma^\mu u_n$	$2m_N\chi^{\daggers}\chi^r$	$\mu = 0$
\boldsymbol{A}	$\overline{u}_p \gamma^5 \gamma^k u_n$	$2m_N\chi^{\daggers}\sigma^k\chi^r$	$k \neq 0$
T	$\overline{u}_p \sigma^{\mu \nu} u_n$	$2m_N \chi^{\dagger s} \sigma^k \chi^r$	$\mu,\nu \neq 0$ $k \ cyclic$
P	$\overline{u}_p \gamma^5 u_n$	0	

Elemento di matrice nucleare

• La parte relativa al nucleone deve essere generalizzata per tenere conto del fatto che, in generale, il nucleone è in uno stato legato nel nucleo

$$\overline{u}_p \Gamma_X u_n \, o \left\langle X \right
angle \equiv \left\langle N_{Z+1}^A \mid \widehat{O} \widehat{\Gamma}_i \mid N_Z^A \right
angle$$

- Gli stati $\left|N_Z^A\right>$ e $\left|N_{Z+1}^A\right>$ sono rispettivamente le funzioni d'onda iniziale e finale del nucleo
- ullet L'operatore O permette un elemento di matrice non nullo fra nuclei diversi
 - Distrugge un neutrone nello stato iniziale
 - · Crea un protone nello stato finale
- L'operatore Γ è una delle matrici introdotte e determina la variazione di spin
- Gli elementi di matrice nucleare sono di due tipi e vengono indicati

$$\left\langle 1 \right\rangle \equiv \left\langle N_{Z+1}^{A} \mid \widehat{1} \, \widehat{O} \mid N_{Z}^{A} \right\rangle \qquad \left\langle \boldsymbol{\sigma} \right\rangle \equiv \left\langle N_{Z+1}^{A} \mid \widehat{\boldsymbol{\sigma}} \, \widehat{O} \mid N_{Z}^{A} \right\rangle \qquad 3 \begin{cases} \sigma_{x} \\ \sigma_{y} \\ \sigma_{y} \end{cases}$$

- Il calcolo di questa parte dell'elemento di matrice deve tenere conto della struttura nucleare del particolare nucleo in esame
- Non ci occuperemo di questa parte del calcolo

• Dal momento che l'interazione è

$$\mathcal{H}_I' = G \sum_{i=S,V,A,T} C_i \left(\overline{\psi}_p \Gamma^i \psi_n \right) \left(\overline{\psi}_e \Gamma_i \psi_{\nu} \right) + h.c.$$

L'ampiezza invariante ha 4 termini

$$\mathfrak{M} \,=\, \mathfrak{M}_{\scriptscriptstyle S} \,+\, \mathfrak{M}_{\scriptscriptstyle V} \,+\, \mathfrak{M}_{\scriptscriptstyle A} \,+\, \mathfrak{M}_{\scriptscriptstyle T}$$

- Ricordando quanto detto per l'elemento di matrice nucleare abbiamo
 - Scalare

$$\mathfrak{M}_{S} = G C_{S} \langle 1 \rangle \overline{u}_{e} (k) v_{\nu} (k')$$

Vettoriale

$$\mathfrak{M}_{V} = GC_{V} \langle 1 \rangle \overline{u}_{e}(k) \gamma^{0} v_{\nu}(k')$$

• Vettoriale Assiale
$$\left| \; \mathfrak{M}_{A} \right. = GC_{A} \left< \sigma_{j} \right> \overline{u}_{e} \left(k \right) \gamma^{5} \gamma^{j} v_{\nu} \left(k' \right)$$

Somma di 3 termini (i = 1,2,3)

Tensoriale

$$\mathfrak{M}_{T}\,=2GC_{T}\left\langle \sigma_{j}\right
angle \overline{u}_{e}\left(k
ight)\Sigma^{j}v_{
u}\left(k^{\prime}
ight)$$

Nella somma tensoriale ci sono 6 termini (quindi il fattore 2)

• Riassumendo:

- ullet Gli accoppiamenti di tipo S e V non possono variare lo spin del nucleone
 - ullet Le transizioni con accoppiamenti S e V sono le Transizioni di Fermi
- ullet Gli accoppiamenti di tipo A e T possono variare lo spin del nucleone
 - ullet Le transizioni con accoppiamenti A e T sono le Transizioni di Gamov-Teller
- ullet Gli accoppiamenti di tipo P si annullano nel limite statico

• Regole di selezione:

• Transizioni nucleari con $J_i=J_f=0$ sono dette Transizioni Pure di Fermi

$$O^{14}(0^+) \to N^{14^*}(0^+) + e^+ + \nu$$

- Possono coinvolgere solo le ampiezze $\mathfrak{M}_{_S}$ e $\mathfrak{M}_{_V}$
- Transizioni nucleari con $\Delta J = |J_i J_f| = 1$ sono dette Transizioni Pure di Gamov-Teller

$$B^{12}(1^+) \to C^{12^*}(0^+) + e^- + \overline{\nu}$$

- Possono coinvolgere solo le ampiezze $\mathfrak{M}_{\scriptscriptstyle A}$ e $\mathfrak{M}_{\scriptscriptstyle T}$
- Transizioni nucleari con $J_i=J_f$ $J_i\,,\,J_f\!
 eq 0$ sono dette Transizioni Miste

• Possono coinvolgere tutte le ampiezze $\mathfrak{M}_S,\ \mathfrak{M}_V,\ \mathfrak{M}_A$ e \mathfrak{M}_T

La Larghezza di Decadimento

- Per circa 20 anni l'attività sperimentale fu molto intensa per cercare di capire quali dei possibili accoppiamenti fossero effettivamente realizzati in natura
 - L'osservabile sperimentale più semplice è lo spettro di energia dell'elettrone
- La larghezza di decadimento è data da

$$d\Gamma = \frac{1}{2m_n} |\mathfrak{M}|^2 d\Phi$$

L'elemento dello Spazio delle Fasi

$$d\Phi = \frac{d^3k}{(2\pi)^3 2E_k} \frac{d^3k'}{(2\pi)^3 2E_{k'}} \frac{d^3p}{(2\pi)^3 2E_p} (2\pi)^4 \delta^4 (P - k - k' - p)$$

- L'elemento di matrice $\mathfrak M$ possiede degli indici che identificano gli stati di polarizzazione iniziale e finale delle particelle $\to \ \mathfrak M_{s_i,s_1,s_2,s_3}$
 - Sappiamo che se non si osserva lo stato di polarizzazione finale occorre sommare i corrispondenti elementi $\left|\mathfrak{M}\right|^2$ (somma su $s_1,\,s_2,\,s_3$)
 - Se lo stato iniziale non è polarizzato occorre mediare sulle polarizzazioni possibili dello stato iniziale (somma su s_i)
- Se non si osservano effetti polarizzatori si definisce pertanto

$$\overline{|\mathfrak{M}|^2} = \frac{1}{2} \sum_{s_i=1}^2 \sum_{s_1,s_2,s_3=1}^2 \left| \mathfrak{M}_{s_i,s_1,s_2,s_3} \right|^2$$

Termini di Interferenza

• Il modulo quadrato dell'elemento di matrice contiene termini di interferenza

$$\overline{|\mathfrak{M}|^2} = \frac{1}{2} \sum_s \mathfrak{M}_s^* \mathfrak{M}_s = \frac{1}{2} \sum_s \left(\mathfrak{M}_S^* \mathfrak{M}_S^* + ... + \mathfrak{M}_S^* \mathfrak{M}_A^* + ... \right)$$

- L'indice s rappresenta tutti gli indici di spin
- ullet Per brevità si è indicato solo un termine di interferenza (SA) senza indici s
- Dimostriamo che i termini di interferenza SA, ST, VA, VT si annullano
 - Per tutti i termini sopra indicati la parte relativa all'elemento di matrice nucleare contiene termini tipo <1> e < $\sigma>$
 - Pertanto, trascurando constanti non essenziali (il risultato sarà nullo)

$$\left\langle 1\right\rangle ^{*}\left\langle \sigma^{j}\right\rangle =\left(\chi^{\dagger s}\chi^{r}\right)^{*}\chi^{\dagger s}\sigma^{j}\chi^{r}=\chi^{\dagger r}\chi^{s}\chi^{\dagger s}\sigma^{j}\chi^{r}\qquad \text{L'indice j si satura con l'indice leptonico corrispondente}$$

• Utilizziamo la rappresentazione esplicita per gli spinori di Pauli

$$\chi^1 = \begin{pmatrix} 1 \\ 0 \end{pmatrix}$$
 $\chi^2 = \begin{pmatrix} 0 \\ 1 \end{pmatrix}$ $\chi^s_k = \delta_{s,k}$

Inseriamo nell'espressione del termine di interferenza

$$\chi^{\dagger r} \chi^s \chi^{\dagger s} \sigma^j \chi^r = \sum_k \chi_k^{\dagger r} \chi_k^s \sum_{l,m} \chi_l^{\dagger s} \sigma_{l,m}^j \chi_m^r$$

Termini di Interferenza

$$\chi^{\dagger r} \chi^s \chi^{\dagger s} \sigma^j \chi^r = \sum_k \chi_k^{\dagger r} \chi_k^s \sum_{l,m} \chi_l^{\dagger s} \sigma_{l,m}^j \chi_m^r$$

• Sommiamo sugli indici di polarizzazione iniziale e finale

$$\sum_{s,r} \left(\sum_{k} \chi_{k}^{\dagger r} \chi_{k}^{s} \sum_{l,m} \chi_{l}^{\dagger s} \sigma_{l,m}^{j} \chi_{m}^{r} \right) = \sum_{s,r} \left(\sum_{k} \delta_{k,r} \delta_{k,s} \sum_{l,m} \delta_{l,s} \sigma_{l,m}^{j} \delta_{r,m} \right) = \sum_{s,r} \delta_{s,r} \sigma_{s,r}^{j}$$

· Pertanto otteniamo in definitiva

$$\sum_{r,s} \langle 1 \rangle^* \left\langle \sigma^j \right\rangle = \sum_{s,r} \delta_{s,r} \sigma^j_{s,r} = \sum_r \sigma^j_{rr} = Tr \sigma^j = 0$$

- Pertanto i termini di interferenza fra elementi di matrice di Fermi e di Gamov-Teller si annullano se mediati sugli stati di polarizzazione
- · Di conseguenza il quadrato (mediato) dell'ampiezza invariante diventa

$$\overline{\left|\mathfrak{M}_{S}+\mathfrak{M}_{V}+\mathfrak{M}_{A}+\mathfrak{M}_{T}\right|^{2}}=\overline{\left|\mathfrak{M}_{S}+\mathfrak{M}_{V}\right|^{2}}+\overline{\left|\mathfrak{M}_{A}+\mathfrak{M}_{T}\right|^{2}}\ \equiv\overline{\left|\mathfrak{M}_{F}\right|^{2}}+\overline{\left|\mathfrak{M}_{GT}\right|^{2}}$$

- Il risultato appena ottenuto permette di semplificare il calcolo
 - Sottolineiamo che succede solo se si media sugli stati di polarizzazione
 - Per questo motivi i calcoli per osservabili che dipendono dalla polarizzazione sono un po' più lunghi

Somme sugli stati di polarizzazione nucleari

- Valutiamo adesso i termini restanti negli elementi di matrice nucleari
 - Consideriamo ad esempio l'elemento di matrice per una transizione di Fermi $\overline{|\mathfrak{M}_F|^2} = \overline{\mathfrak{M}_S^*\mathfrak{M}_S} + \overline{\mathfrak{M}_V^*\mathfrak{M}_V} + 2\operatorname{Re}\overline{\mathfrak{M}_S^*\mathfrak{M}_V}$
 - In tutti e tre i termini compare la somma sulle polarizzazioni di termini

$$\overline{\mathfrak{M}^*\mathfrak{M}} \propto \left(\left. \overline{u}_p \Gamma^a u_n \,
ight)^\dagger \left(\left. \overline{u}_p \Gamma^b u_n \,
ight)
ight.$$

- Abbiamo indicato la matrice genericamente Γ perchè considerazioni identiche valgono per le transizioni di Gamov-Teller
- Utilizziamo sempre l'approssimazione non-relativistica $u_N pprox \sqrt{2m_N} \left[egin{array}{c} \chi \\ 0 \end{array}
 ight]$
 - · La parte dell'elemento di matrice dovuta agli spinori degli adroni è

$$\overline{\mathfrak{M}^*\mathfrak{M}} \to 4m_N^2 \sum_{rs} \left(\chi^{\dagger s} \Gamma^a \chi^r \right)^\dagger \left(\chi^{\dagger s} \Gamma^b \chi^r \right) = 4m_N^2 \sum_{rs} \left(\chi^{\dagger r} \Gamma^{a\dagger} \chi^s \right) \left(\chi^{\dagger s} \Gamma^b \chi^r \right)$$

- Con l'approssimazione non relativistica utilizzata vale $\Gamma^\dagger=\Gamma$ e $\chi^\dagger=\chi^T$
- Per finire utilizziamo esplicitamente gli indici matriciali nell'espressione

$$\overline{\mathfrak{M}^*\mathfrak{M}} \propto 4m_N^2 \sum_{r,s} \sum_{jk} \left(\chi_j^r \Gamma_{jk}^a \chi_k^s \right) \sum_{lm} \left(\chi_l^s \Gamma_{lm}^b \chi_m^r \right)$$

• Ancora una volta utilizziamo la forma esplicita per gli spinori $\chi_k^s = \delta_{s,k}$

$$\overline{\mathfrak{M}^*\mathfrak{M}} \propto 4m_N^2 \sum_{r,s} \sum_{jk} ig(\delta_{rj} \Gamma^a_{jk} \delta_{sk} ig) \sum_{lm} ig(\delta_{sl} \Gamma^b_{lm} \delta_{rm} ig) = 4m_N^2 \sum_{r,s} \Gamma^a_{rs} \Gamma^b_{sr} = 4m_N^2 Tr ig[\Gamma^a \Gamma^b ig]$$

Somme sugli stati di polarizzazione nucleari

- Concludiamo il calcolo considerando esplicitamente i due casi
 - Transizioni di Fermi
 - ullet La matrice Γ è semplicemente la matrice I

$$\overline{\mathfrak{M}^*\mathfrak{M}} \propto 4m_N^2 Tr[I] = 8m_N^2$$

- Transizioni di Gamov-Teller
 - Le matrici Γ^a sono le matrici di Pauli

$$\overline{\mathfrak{M}^*\mathfrak{M}} \propto 4m_N^2 Tr \left[\sigma^a \sigma^b \right] = 8m_N^2 \delta_{ab}$$

Il tensore leptonico

- Per la parte leptonica dell'elemento di matrice non si usano approssimazioni
 - Si utilizza la teoria di Dirac
 - Occorre calcolare il modulo quadrato degli elementi di matrice del tipo

$$igg|\mathfrak{M}_{\mathit{fi}}\, \propto \overline{u}_{p_e}\Gamma^a v_{p_
u} igg| \qquad \Gamma^a = \widehat{1}, \gamma^\mu, \gamma^5 \gamma^\mu, \sigma^{\mu
u}$$

- Per il calcolo di questi termini si possono utilizzare le tecniche di traccia introdotte precedentemente
 - Abbiamo però una piccola complicazione per la presenza del termine di interferenza

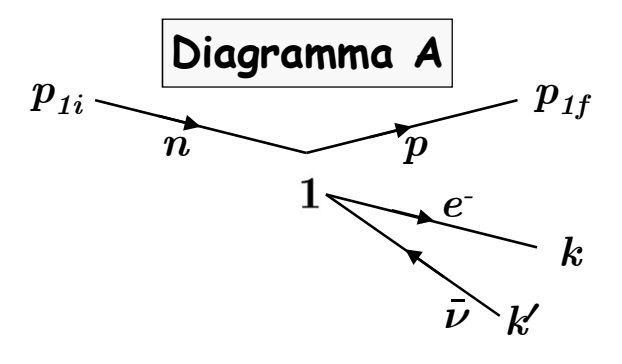
$$\overline{\left|\mathfrak{M}_{F}\right|^{2}} = \overline{\left|\mathfrak{M}_{S}\right|^{2}} + \overline{\left|\mathfrak{M}_{V}\right|^{2}} + 2\operatorname{Re}\overline{\mathfrak{M}_{S}^{*}\mathfrak{M}_{V}}$$

- In realtà gli spinori e la loro posizione sono gli stessi in tutti e 3 i termini
 - In particolare nel termine di interferenza (ad esempio SV)

$$\overline{\mathfrak{M}_{S}}\overline{\mathfrak{M}_{V}} \propto \left(\overline{u}_{p_{e}}\,\widehat{1}v_{p_{\nu}}\,\right)^{\dagger}\left(\overline{u}_{p_{e}}\gamma^{\mu}v_{p_{\nu}}\,\right) = \left(\overline{v}_{p_{\nu}}\,\widehat{1}u_{p_{e}}\,\right)\!\left(\overline{u}_{p_{e}}\gamma^{\mu}v_{p_{\nu}}\,\right)$$

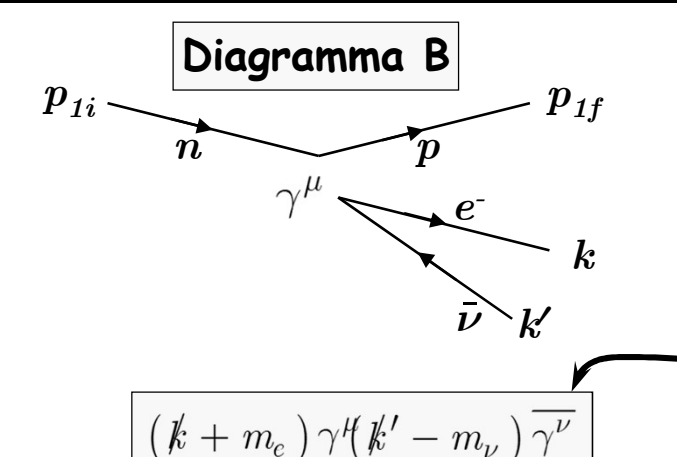
- La struttura è la stessa degli altri termini
- I vertici sono invece mescolati
- Un esempio chiarirà più di ogni altra spiegazione
- Somme sulle polarizzazioni
- Relazioni di completezza

Elementi di matrice



$$(\cancel{k} + m_e)\mathbf{1}(\cancel{k}' - m_{\nu})\mathbf{1}$$

- Per i "quadrati" si introducono nell'ordine:
 - Fermione
 - Vertice
 - · Anti-Fermione
 - Vertice



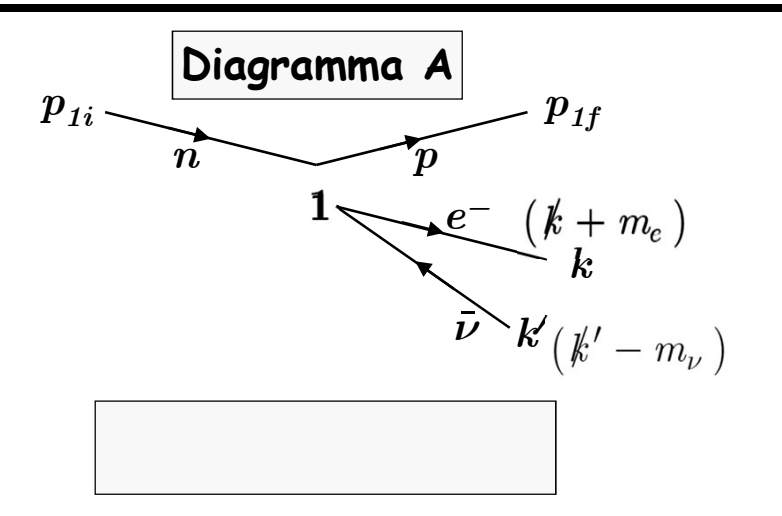
- Per il termine di "interferenza":
 - Fermione (diagramma A)
 - Vertice (diagramma A)
 - Anti-Fermione (diagramma B)
 - Vertice (diagramma B)

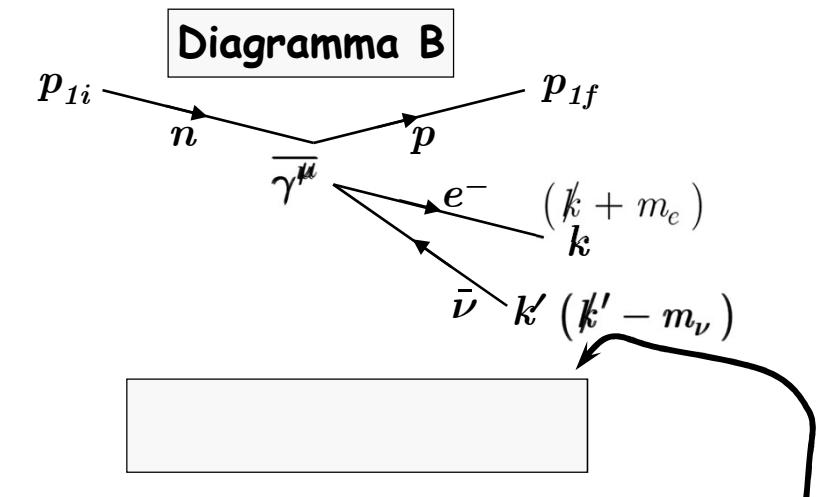
$$\left(\cancel{k}+m_e\right)\mathbf{1}\left(\cancel{k}-m_
u\right)\ \overline{\gamma^
u}$$

N.B.: il secondo vertice introduce l'aggiunto spinoriale della matrice di vertice

$$\overline{|\mathfrak{M}_{F}|^{2}} = C_{S}^{2} 4 m_{N}^{2} Tr [(\rlap/k + m_{e})(\rlap/k' - m_{\nu})] + C_{V}^{2} 4 m_{N}^{2} Tr [(\rlap/k + m_{e}) \gamma^{0} (\rlap/k' - m_{\nu}) \gamma^{0}] + 2 \operatorname{Re} [C_{S} C_{V} 4 m_{N}^{2} Tr [(\rlap/k + m_{e})(\rlap/k' - m_{\nu}) \gamma^{0}]]$$

Elementi di matrice





- Per i "quadrati" si introducono nell'ordine:
 - Fermione
 - Vertice
 - Anti-Fermione
 - Vertice

- Per il termine di "interferenza":
 - Fermione (diagramma A)
 - Vertice (diagramma A)
 - Anti-Fermione (diagramma B)
 - Vertice (diagramma B)

N.B.: il secondo vertice introduce l'aggiunto spinoriale della matrice di vertice

$$\overline{|\mathfrak{M}_{F}|^{2}} = C_{S}^{2} 4 m_{N}^{2} Tr [(\rlap/k + m_{e})(\rlap/k' - m_{\nu})] + C_{V}^{2} 4 m_{N}^{2} Tr [(\rlap/k + m_{e}) \gamma^{0} (\rlap/k' - m_{\nu}) \gamma^{0}] + 2 \operatorname{Re} [C_{S} C_{V} 4 m_{N}^{2} Tr [(\rlap/k + m_{e})(\rlap/k' - m_{\nu}) \gamma^{0}]]$$

L'elemento di Matrice

• Riepilogando, l'elemento di matrice risulta

$$\overline{\left|\mathfrak{M}_{S}+\mathfrak{M}_{V}+\mathfrak{M}_{A}+\mathfrak{M}_{T}\right|^{2}}=\overline{\left|\mathfrak{M}_{S}+\mathfrak{M}_{V}\right|^{2}}+\overline{\left|\mathfrak{M}_{A}+\mathfrak{M}_{T}\right|^{2}}=\overline{\left|\mathfrak{M}_{F}\right|^{2}}+\overline{\left|\mathfrak{M}_{GT}\right|^{2}}$$

• Calcoliamo il termine relativo alle transizioni di Fermi $\left|\mathfrak{M}_{F}\right|^{2}$

$$\overline{\left|\overline{\mathfrak{M}_{F}}\right|^{2}} = \overline{\left|\overline{\mathfrak{M}_{S}}\right|^{2}} + \overline{\left|\overline{\mathfrak{M}_{V}}\right|^{2}} + 2\operatorname{Re}\overline{\mathfrak{M}_{S}^{*}\mathfrak{M}_{V}}$$

Abbiamo visto che

$$\mathfrak{M}_{S} = GC_{S}\langle 1 \rangle \overline{u}_{e}\left(k\right) v_{\nu}\left(k'\right) \qquad \mathfrak{M}_{V} = GC_{V}\langle 1 \rangle \overline{u}_{e}\left(k\right) \gamma^{0} v_{\nu}\left(k'\right)$$

- Dove abbiamo anche calcolato $\langle 1 \rangle = 8 m_N^2$
- Assumendo C_S e C_V reali otteniamo

$$|\overline{\mathfrak{M}_{F}}|^{2} = G^{2}C_{S}^{2}4m_{N}^{2}Tr[(\cancel{k} + m_{e})(\cancel{k}' - m_{\nu})] +$$

$$+G^{2}C_{V}^{2}4m_{N}^{2}Tr[(\cancel{k} + m_{e})\gamma^{0}(\cancel{k}' - m_{\nu})\gamma^{0}] +$$

$$+2\operatorname{Re}[G^{2}C_{S}C_{V}4m_{N}^{2}Tr[(\cancel{k} + m_{e})(\cancel{k}' - m_{\nu})\gamma^{0}]]$$

ullet Per il momento non indicheremo più G^2 e lo reintrodurremo alla fine del calcolo

L'elemento di Matrice

$$\overline{|\mathfrak{M}_{F}|^{2}} = C_{S}^{2} 4 m_{N}^{2} Tr \left[\left(\cancel{k} + m_{e} \right) \left(\cancel{k}' - \cancel{\searrow}_{\psi} \right) \right] + C_{V}^{2} 4 m_{N}^{2} Tr \left[\left(\cancel{k} + m_{e} \right) \gamma^{0} \left(\cancel{k}' - \cancel{\searrow}_{\psi} \right) \gamma^{0} \right] + 2 \operatorname{Re} \left[C_{S} C_{V} 4 m_{N}^{2} Tr \left[\left(\cancel{k} + m_{e} \right) \left(\cancel{k}' - \cancel{\searrow}_{\psi} \right) \gamma^{0} \right] \right]$$

- Assumiamo $m_{
 u}=0$

• Sviluppiamo ulteriormente ricordando
$$Tr[\gamma^{\mu_1}\dots\gamma^{\mu_n}]=0$$
 $n\,dispari$

$$\overline{|\mathfrak{M}_{F}|^{2}} = C_{S}^{2} 4 m_{N}^{2} Tr[kk'] + C_{V}^{2} 4 m_{N}^{2} Tr[k\gamma^{0}k'\gamma^{0}] + 2 \operatorname{Re}[C_{S} C_{V} 4 m_{N}^{2} Tr[m_{e}k'\gamma^{0}]]$$

• A questo punto calcoliamo le tracce ricordando le due regole

$$Tr[\,\gamma^\mu\gamma^\nu\,]=4g^{\mu\nu}$$

$$Tr \left[\, \gamma^\mu \gamma^\nu \gamma^\sigma \gamma^\rho \,\right] = \, 4g^{\mu\nu} g^{\sigma\rho} \, - \, 4g^{\mu\sigma} g^{\nu\rho} \, + \, 4g^{\mu\rho} g^{\nu\sigma}$$

• In definitiva

$$\overline{|\mathfrak{M}_F|^2} = C_S^2 4 m_N^2 4 k \cdot k' + C_V^2 4 m_N^2 4 \left(E_e E_\nu - k \cdot k' + E_e E_\nu \right) + 2 \operatorname{Re} \left[C_S C_V 4 m_N^2 4 m_e E_\nu \right]$$

$$\overline{|\mathfrak{M}_{F}|^{2}} = 16m_{N}^{2} \left[C_{S}^{2}k \cdot k' + C_{V}^{2} \left(2E_{e}E_{\nu} - k \cdot k' \right) + 2C_{S}C_{V}m_{e}E_{\nu} \right]$$

L'elemento di Matrice

$$\begin{split} & |\overline{\mathfrak{M}_{F}}|^{2} = 16m_{N}^{2} \left[C_{S}^{2}k \cdot k' + C_{V}^{2} \left(2E_{e}E_{\nu} - k \cdot k' \right) + 2C_{S}C_{V}m_{e}E_{\nu} \right] \\ & |\overline{\mathfrak{M}_{F}}|^{2} = 16m_{N}^{2} \left[C_{S}^{2} \left(E_{e}E_{\nu} - \mathbf{p}_{e} \cdot \mathbf{p}_{\nu} \right) + C_{V}^{2} \left(2E_{e}E_{\nu} - k \cdot k' \right) + 2C_{S}C_{V}m_{e}E_{\nu} \right] \\ & |\overline{\mathfrak{M}_{F}}|^{2} = 16m_{N}^{2} \left[C_{S}^{2} \left(E_{e}E_{\nu} - \mathbf{p}_{e} \cdot \mathbf{p}_{\nu} \right) + C_{V}^{2} \left(2E_{e}E_{\nu} - E_{e}E_{\nu} + \mathbf{p}_{e} \cdot \mathbf{p}_{\nu} \right) + 2C_{S}C_{V}m_{e}E_{\nu} \right] \\ & |\overline{\mathfrak{M}_{F}}|^{2} = 16m_{N}^{2} \left[C_{S}^{2} \left(E_{e}E_{\nu} - \mathbf{p}_{e} \cdot \mathbf{p}_{\nu} \right) + C_{V}^{2} \left(E_{e}E_{\nu} + \mathbf{p}_{e} \cdot \mathbf{p}_{\nu} \right) + 2C_{S}C_{V}m_{e}E_{\nu} \right] \\ & |\overline{\mathfrak{M}_{F}}|^{2} = 16m_{N}^{2}E_{e}E_{\nu} \left[C_{S}^{2} \left(1 - \frac{\mathbf{p}_{e} \cdot \mathbf{p}_{\nu}}{E_{e}E_{\nu}} \right) + C_{V}^{2} \left(1 + \frac{\mathbf{p}_{e} \cdot \mathbf{p}_{\nu}}{E_{e}E_{\nu}} \right) + 2C_{S}C_{V} \frac{m_{e}E_{\nu}}{E_{e}E_{\nu}} \right] \\ & |\overline{\mathfrak{M}_{F}}|^{2} = 16m_{N}^{2}E_{e}E_{\nu} \left[C_{S}^{2} \left(1 - \beta_{e} \cdot \beta_{\nu} \right) + C_{V}^{2} \left(1 + \beta_{e} \cdot \beta_{\nu} \right) + 2C_{S}C_{V} \frac{m_{e}}{E_{e}} \right] \end{split}$$

ullet Per finire, reintroduciamo la costante G e otteniamo

$$\boxed{\overline{\left|\overline{\mathfrak{M}_{F}}\right|^{2}} = 16m_{N}^{2}E_{e}E_{\nu}G^{2}\left[C_{S}^{2}\left(1-\boldsymbol{\beta_{e}}\cdot\boldsymbol{\beta_{\nu}}\right)+C_{V}^{2}\left(1+\boldsymbol{\beta_{e}}\cdot\boldsymbol{\beta_{\nu}}\right)+2C_{S}C_{V}\frac{m_{e}}{E_{e}}\right]}$$

• Un calcolo analogo per l'elemento di matrice di Gamov-Teller

$$\boxed{|\overline{\mathfrak{M}_{GT}}|^2 = 16m_N^2 E_e E_{\nu} G^2 \left[3C_A^2 \left(1 - \frac{1}{3} \mathbf{\beta_e} \cdot \mathbf{\beta_{\nu}} \right) + 12C_T^2 \left(1 + \frac{1}{3} \mathbf{\beta_e} \cdot \mathbf{\beta_{\nu}} \right) - 12C_A C_T \frac{m_e}{E_e} \right]}$$